

- [5] 上海植物生理所光合作用研究室二组,《植物学报》1977年19期216页。
- [6] 广东植物研究所生理生化研究室,《植物研究》,1976年4期12页。
- [7] 中国科学院生物物理研究所三室二组,《生物化学与生

- 物物理进展》,1978年1期1页。
- [8] 杨福愉等,《科学通报》1978年23期752页。
- [9] 杨福愉等,《科学通报》1979年24期24页。

[本文于1981年4月21日收到]

支原体膜的结构与功能——支原体膜上 ATPase 动力学参数的测定

董仁杰 蒋以文 王苏民 黄芬
(中国科学院生物物理研究所)

ATPase 是生物膜上一种重要的酶,它不仅参与能量代谢,物质运送,氧化磷酸化等重要生化过程,而且它与膜上磷脂的结合状态,将影响膜的流动性,从而影响膜的其他功能。因此,研究 ATPase 的性质和功能,对生物膜的结构与功能的研究具有重要意义。

支原体膜上自发现有 ATPase 以来^[1],对其性质的研究,虽不及哺乳动物质膜或线粒体膜的工作做的那么深入,但近年来也开展了一些研究^[2,3]。这种酶为 Mg²⁺ 所激活,某些二价阳离子也能在不同程度上使其激活。关于一价阳离子的作用以及某些抑制剂的作用则有不同的结果。

本文以鸡败血症支原体为材料,就某些因素对膜上 ATPase 活性的影响进行了研究。目的是选择一定条件,以便对 S₆ 菌株膜上 ATPase 水解 ATP 的某些动力学常数进行测定。

一、材料和方法

1. 菌种 鸡败血症支原体 S₆ 株(由农业部兽医药品监察所赠给)

2. 培养基配制与菌体培养 见前文^[4]。

3. 菌体的收集与膜的提取和纯化 接种后的培养液,在 37℃ 培养 36 小时取出后,13,000 × g 离心 15 分钟,收集菌体,以 β-缓冲液 pH7.4 (含 0.15M NaCl, 0.05M Tris, 0.01M β-巯基乙醇, 用盐酸调到所需的 pH)洗涤菌体两次。然后悬浮于适量的 1:20 β-缓冲液中,置 37℃ 恒温

水浴保温 20 分钟,使菌体低渗裂解。以 8000 × g 离心 5 分钟,除去未破的菌体,膜悬液再以 48,000 × g 离心 30 分钟收集膜。将膜再悬浮于 1ml 1:20 β-缓冲液中(含膜蛋白 5—10mg),将此膜悬液加入 6.5ml 梯度离心管的蔗糖液面上(先在此管中加入 2ml 50% (W/W) 的蔗糖液,再缓缓加入 2ml 35% (W/W) 的蔗糖液)再加入适量的 1:20 β-缓冲液,封管。在 MSE75 离心机中离心 2 小时(4℃),100,000 × g。取出两层蔗糖液面上的膜^[5]再用 1:20 β-缓冲液洗涤两次,48,000 × g 离心收集膜,最后再悬浮于 1:20 β-缓冲液中于 4℃ 冰箱保存备用。如需长时间保存应放于 -40℃ 冰箱中或液氮内。蛋白含量按 Lowry 法^[4]测定。

4. ATPase 活性测定和比活性的计算

用分光光度法^[4]测 NADH OD₃₄₀ 下降值。以每毫克蛋白每分钟 NADH 之 ΔOD₃₄₀ 计算酶的比活。所用底物均经纯化。此外,还用测定 ATPase 反应释放出的无机磷的方法^[4]进行了比较。

5. ATPase 抑制常数 K_i 的计算^[6]

计算公式如下:

$$\frac{V_{\max}}{V_i} = 1 + K_i[I]$$

二、结果和讨论

1. 不同低渗液对膜上 ATPase 比活性的影响

在使支原体膜破裂的方法中，许多人认为最简单、最温和的手段是低渗裂解。但用 1:20 β -缓冲液来裂解膜产率很低，我们用重蒸水和 1:20 β -缓冲液平行比较破膜效果，结果如下：

表 1 不同低渗液对酶比活性的影响

| 裂解液 | 比活性的% | 次数 | | | 平均 |
|-----------------|-------|-----|-----|--------|-----|
| | | 1 | 2 | 3 | |
| 1:20 β -液 | 100 | 100 | 100 | 100 | 100 |
| 重 蒸 水 | 167 | 126 | 121 | 138±25 | |

Razin^[7] 等认为鸡败血症支原体 S₆ 株对低渗不敏感，我们用重蒸水破膜，可提高产率 3 倍左右，酶比活性也略有提高（见表 1），但为保持酶活性，膜制品应保存于 1:20 β -缓冲液中，并放置冰箱内。

2. 蔗糖密度梯度离心纯化膜

参照 Rottem 等人的实验^[8]，我们选择了 35% 和 50% 两个浓度的蔗糖液，做为密度梯度离心液。离心后分为三层，上层和下层膜量的较少，中层最多，约为总量的 70—90%，膜色浅黄，较易悬浮，酶比活性比未做梯度离心的膜提高约 60% 左右。

膜经裂解后，内含物外流，电镜观察多为“空袋状”经洗涤不易完全纯化，经梯度离心使比重相近的膜片集中在一起，除去的仅是少量的内含物或比重过大过小的膜片，因此量损失不大，酶比活性提高亦不大。

3. Mg²⁺ 浓度对膜上 ATPase 比活性的影响

既然鸡败血症支原体 S₆ 膜上 ATPase 是 Mg²⁺ 激活的^[4]，那么 Mg²⁺ 的浓度将如何影响酶活性呢？作者比较了不同的 Mg²⁺ 与 ATP 克分子数之比*，对 ATPase 比活性的影响。结果表明：Mg²⁺:ATP = 5:1 时比活性最高，增加或减少 Mg²⁺:ATP 的比例比活性均下降，不加 Mg²⁺ 时比活性最低（图 1）。

Mg²⁺ 激活 ATPase 一般认为是通过活化底物形成 Mg²⁺-ATP 达到目的的。从上面的数据

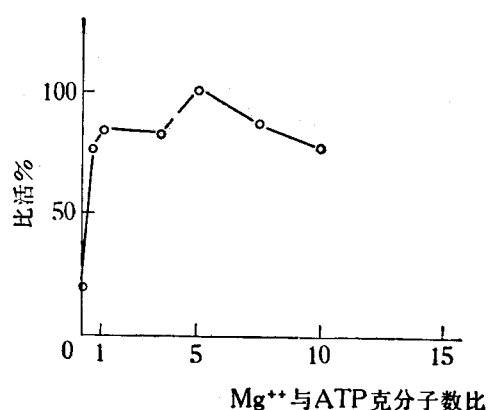


图 1 不同比例的 Mg²⁺:ATP 对酶活性的影响

看 Mg²⁺:ATP 为 5:1 时比活性最高，即 Mg²⁺-ATP 可能处于最佳状态，底物 ATP 得到充分活化。当 Mg²⁺:ATP < 5:1 时，Mg²⁺ 量不足，形成的 Mg²⁺-ATP 较少，被水解的 ATP 量相应减少，表现出酶比活较低，当 Mg²⁺:ATP > 5:1 时，过量的 Mg²⁺ 与产物 ADP 结合，形成 Mg²⁺-ADP，它是 ATP 的竞争性抑制剂，能够抑制 Mg²⁺-ATP 的水解，同时，增加游离的 Mg²⁺，也减少了 Mg²⁺-ATP 与 ATPase 的亲和力，从而降低反应速度。有人认为 ATPase 受过量 Mg²⁺ 抑制作用的机理是竞争性和非竞争性作用的混合^[9]。由此可以说明 Mg²⁺ 对膜上 ATPase 又激活又抑制的原因。Ulrich 研究线粒体外膜，获得的结果是：Mg²⁺:ATP = 2:3 时酶比活性最高，这可以看出不同来源的 ATPase 受 Mg²⁺ 的影响也是不同的。

4. 膜上 ATPase 米氏常数 K_m 的测定

底物 ATP 用量选择 0.01mM 至 0.18mM（测定七个点），在温度 21°C，pH7.4 时，测定相应底物浓度下的反应速度，直到最大反应速度 V_{max} 测出为止。同时，也比较了不同的 Mg²⁺ 浓度对 K_m 和 V_{max} 的影响。所得数据用 Line-weaver 和 Burk 作图（双倒数作图）^[10]，计算出结果见表 2。

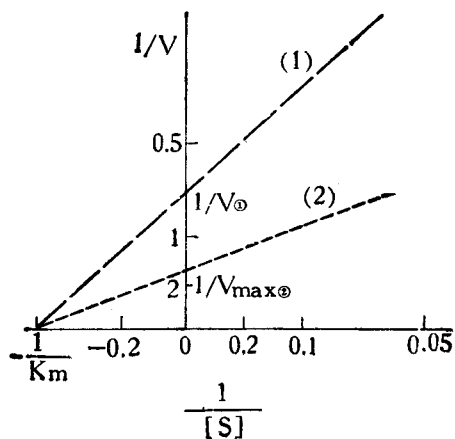
表中可见两种不同的 Mg²⁺ 浓度，不影响

* ATP 浓度为 0.37mM，Mg²⁺ 浓度根据不同的比例要求而变。如：ATP:Mg²⁺ = 1:5 时，Mg²⁺ 浓度为 1:85mM。

表2 膜上ATPase的 K_m 和 V_{max}

| 数据 | 项目 | 编号 | Mg^{2+} 浓度 (mM) | K_m (μM) | V_{max} $OD/30\mu g$ 蛋白·分 |
|-----------------------------------|----|----|-------------------------|----------------------|-----------------------------------|
| $\frac{1}{v}$ 对 $\frac{1}{S}$ 作图 | | 1 | 0.37 | 12.1 ± 1.5 | 0.605 ± 0.043 |
| $K_m = V_{max} \cdot \tan \alpha$ | | 2 | 1.85 | 12.0 ± 1.7 | 1.49 ± 0.36 |

K_m 值，却对 V_{max} 产生影响。当 ATP 用量达 $0.148mM$ 时可达最大反应速度 V_{max} ，公式法比图解法略低。

图2 S_e膜上ATPase底物ATP浓度与反应速度的双倒数作图

K_m 作为酶的特征常数，它反映了酶和底物亲和力的大小（其值用 $1/K_m$ 表示），两种 Mg^{2+} 浓度不影响 K_m 值，说明在这两种浓度下， Mg^{2+} 影响酶和底物的亲和力相等。 K_m 的物理意义只表示酶反应速度达最大反应速度一半时，所要求的底物浓度，测定 K_m 值的实验数据（图2）可以证明支原体膜上 ATPase 的反应速度规律，是符合 Michaelis-Menten 方程的。Jinks 等人认为测定膜上的 ATPase 的 K_m 值受温度的影响，而膜的流动性和相的状态不影响 K_m 。由此可推断出底物与酶的束缚力是发生在膜脂环境的

外面^[6]。而 V_{max} 不仅受温度的影响，也受膜上相的状态的影响。这可能是膜上的酶与纯化后的酶在动力学性质上的差异之一。

5. 抑制常数 K_i 的测定

NaF 和 KSCN 对此酶有抑制作用^[4]。本实验用含有 $15.8mM$ NaF， $31.7mM$ KSCN 的 Tris-HAC 缓冲液反应体系，（加有 $5\mu M$ 的 Mg^{2+} ）在 pH7.4, 21°C 条件下，测得各组对应的 V_{max} 和 V_i ，然后以 Taidler^[6] 的公式计算之。结果是：NaF 的 $K_i = 24.3(\mu M)^{-1}$ ，KSCN 的 $K_i = 56.7(\mu M)^{-1}$ 。 K_i 反应抑制剂与酶，或抑制剂与酶一底物络合物结合的能力。NaF 和 KSCN 均为非竞争性抑制剂，它不影响酶的 K_m 值，只是使 V_{max} 缩小了 $1 + K_i/[I]$ 倍，因 K_i 与底物浓度无关，故用抑制剂浓度（或其倒数）表示之，从所得值看 KSCN 的抑制作用比 NaF 强。用定无机磷的方法比较，所得数据相近。

（注：本文实验数据均为三次以上实验的平均值）

承本所二室邹惠君同志、本室史宝生同志在实验技术上给予帮助，谨致谢意。

参 考 文 献

- [1] Pollack, J. D. et al.: *J. Bacteriol.*, **90**, 617, 1965.
- [2] Razin, S.: *Microbiological Reviews*, **42**(2), 414, 1978.
- [3] Rottem, S. et al.: *J. Bacteriol.*, **92**, 714, 1966.
- [4] 黄芬等：*实验生物学报*1981年, 第2期。
- [5] Rottem, S. et al.: *Biochim. Biophys. Acta*, **219**(1) 104, 1970.
- [6] Taidler K. J.: *The Chemical Kinetics of Enzyme Action*, 1958.
- [7] Razin, S.: *J. Gen. Microbiol.*, **33**, 471, 1963.
- [8] Jinks, D. C. et al.: *J. Bacteriol.*, **136**, 1027, 1978.
- [9] Ulrich, F.: *J. Biol. Chem.*, **239**(10), 3532, 1964.
- [10] I Rwin, H. S.: *Biochemical Calculation*, 1976.

〔本文于1981年1月5日收到〕